#### СПИСОК ЛИТЕРАТУРЫ

- 1. Амирханова Н.А., Валиев Р.З., Черняева Е.Ю. и др. Коррозионное поведение титановых материалов с ультрамелкозернистой структурой // Металлы. 2010. № 3. С. 101—107.
- Малёткина Т.Ю., Налесник О.И., Итин В.И., Колобов Ю.Р. Электрохимическое поведение наноструктурного и крупнокристаллического титана // Защита металлов. — 2003. — Т. 39. — № 5. — С. 508—510.
- 3. Амирханова Н.А., Валиев Р.З., Александров И.В. и др. Влияние равноканального углового прессования на коррозионное поведение ультрамелкозернистых материалов: никеля, алюминиевых сплавов, титанового сплава ВТ1-0, магниевого сплава и УМЗ меди, полученной по различным маршрутам // Вестник УГАТУ. 2006. Т. 7. № 3. С. 42—51.
- Kumar S., Narayanan S., Raman S., Seshadri S.K. Thermal oxidation of CP Ti an electrochemical and structural characterization // Materials Characterization. – 2010. – V. 61. – № 6. – P. 589–597.
- Hoseini M., Shahryari A., Omanovic S., Szpunar J.A. Comparative effect of grain size and texture on the corrosion behaviour of commercially pure titanium processed by equal channel angular pressing // Corrosion Science. – 2009. – V. 51. – № 12. – P. 3064–3067.
- Balakrishnan A., Lee B.C., Kim T.N., Panigrahi B.B. Corrosion behaviour of ultra fine grained titanium in simulated body fluid for

- implant application // Trends Biomater. Artif. Organs.  $-2008. V. 22. N_{\odot} 1. P. 58-64.$
- Kadowaki N., Martinez G., Robin A. Electrochemical behavior of three CP titanium dental implants in artificial saliva // Materials Research. – 2009. – V. 12. – № 3. – P. 363–366.
- Коршунов А.В., Ильин А.П., Лотков А.И. и др. Особенности окисления субмикрокристаллического титана при нагревании в воздухе // Известия Томского политехнического университета. – 2011. – Т. 319. – № 3. – С. 10–16.
- Дамаскин Б.Б., Петрий О.А., Подловченко Б.И. и др. Практикум по электрохимии. – М.: Высшая школа, 1991. – 288 с.
- Колотыркин Я.М., Петров П.С. Электрохимическое поведение титана в водных растворах электролитов // Журнал физической химии. 1957. Т. 27. № 3. С. 659–671.
- 11. Антропов Л.И. Теоретическая электрохимия. М.: Высшая школа, 1984. 519 с.
- Якименко Л.М. Электродные материалы в прикладной электрохимии. М.: Химия, 1977. 264 с.
- Разина Н.Ф. Окисные электроды в водных растворах. Алма-Ата: Наука, 1982. – 160 с.

Поступила 01.06.2011 г.

УДК 544.723

# ОПРЕДЕЛЕНИЕ ТЕРМОДИНАМИЧЕСКИХ ПАРАМЕТРОВ ПРОЦЕССА АДСОРБЦИИ НА НАНОРАЗМЕРНОМ ЖЕЛЕЗОУГЛЕРОДНОМ СОРБЕНТЕ

В.А. Митькина, Т.А. Юрмазова, А.И. Галанов

Томский политехнический университет E-mail: mva09@sibmail.com

Получены изотермы сорбции доксорубицина на наноразмерном железоуглеродном сорбенте в диапазоне температур 18...60 °С, определены кинетические ( $E_3$ =29 кДж/моль) и термодинамические параметры процесса адсорбции ( $\Delta$ H°=26,6 кДж/моль,  $\Delta$ S°=182,5 Дж/(К·моль)). Для уточнения механизма взаимодействия получены зависимости электрокинетического потенциала поверхности от концентрации доксорубицина.

#### Ключевые слова:

Адсорбция, железоуглеродный сорбент, термодинамические параметры, кинетические параметры, наноразмерный, электрокинетический потенциал.

#### Kev words:

Adsorption, carbon-iron sorbent, thermodynamic parameters, kinetic parameters, nanosize, electrokinetic potential.

#### Введение

Среди различных типов новых материалов все большее внимание привлекают железоуглеродные сорбенты (ЖУС). Они отличаются высокой сорбционной активностью в процессах селективного извлечения компонентов из растворов для получения магнитоуправляемых носителей лекарственных препаратов в медицине. Обзор работ [1–4] показал, что данное направление довольно новое и требует более детального исследования сорбционных процессов с их участием.

Ранее [1] нами была показана высокая эффективность сорбции доксорубицина на железоуглеродных наночастицах, используемых для адресной доставки лекарственных препаратов. В то же время

остался невыясненным вопрос о термодинамических и кинетических закономерностях (константа скорости адсорбции, энергия активации) сорбционных процессов. В связи с этим, целью настоящей работы является изучение термодинамических, кинетических и электрокинетических свойств процесса адсорбции доксорубицина на железоуглеродном сорбенте.

## Методики эксперимента

Наноразмерный ЖУС был получен в результате электроискрового диспергирования железных гранул в гексане. Согласно ранее полученным результатам [5], используемый образец является многофазным композиционным материалом, включа-

ющим в свой состав фазы  $\alpha$ -Fe (33 об. %), FeC (9,6 об. %) и Fe<sub>3</sub>C (54,3 об. %). Кроме того, по данным электронно-дифракционного анализа на поверхности частиц имеется фаза гексагонального графита. Размеры полученных частиц лежат в пределах 80...120 нм. Площадь удельной поверхности составляет 55 м²/г.

Методика импульсного диспергирования, схема установки, геометрия реактора подробно описаны в работе [2]. Полученную суспензию, состоящую из ЖУС и среды диспергирования, разделяли на фракции центрифугированием. Крупную фракцию, выпадающую в осадок при числе оборотов до 5000 об/мин, удаляли, оставшуюся часть ЖУС использовали для изучения процессов адсорбции доксорубицина. Для отделения магнитной фракции, после центрифугирования порошки подвергали магнитной сепарации и высушивали при 150 °С в течение 2 ч.

Заряд поверхности (*ξ*-потенциал) определяли с использованием метода движущейся границы [6] при напряженности постоянного электрического поля 5 В/м в 0,09 % водном растворе NaCl квалификации «х.ч.».

В качестве адсорбата выбран доксорубицина гидрохлорид (ДР), который используется при лечении онкологических заболеваний [5]. Сорбцию на ЖУС проводили в статическом режиме. Адсорбцию осуществляли при 18, 30, 40, 60 °С в течение 48 ч. Исходную и равновесную концентрацию ДР определяли с использованием спектрофотометра Apel PD-300UV при длине волны 490 нм.

Для получения кинетических зависимостей процесса адсорбции на ЖУС навеску сорбента массой 50 мг заливали 50 мл раствора с начальной концентрацией адсорбата 40 мг/л и подвергали воздействию ультразвука (частота — 20 кГц, мощность — 400 Вт) в течение 5 мин для деагломерации порошков. Через определенные промежутки времени определяли остаточную концентрацию ДР. Кинетические кривые адсорбции были получены при 18, 40, 60 °С.

Для определения природы и числа активных центров на поверхности ЖУС была исследована адсорбция  $H^+$  и  $OH^-$  [6]. Для этого готовили растворы HCl «х.ч.» и NaOH «х.ч.» различных концентраций и измеряли исходное значение pH с помощью иономера M-160, точность определения  $pH \pm 0.02$ . Далее навески ЖУС по 50 мг помещали в порции растворов 50 мл имеющие различные значения pH. После выдержки с перемешиванием в течение 2 ч центрифугировали и снова измеряли равновесные значения pH суспензии ЖУС.

### Результаты и их обсуждение

Для определения термодинамических параметров процесса адсорбции доксорубицина на ЖУС были получены изотермы адсорбции при 18, 30, 40 и 60 °C.

Изотермы хорошо аппроксимируются уравнением Лэнгмюра (рис. 1). Это свидетельствует об адсорбции ДР на отдельных центрах поверхности с образованием мономолекулярного слоя.

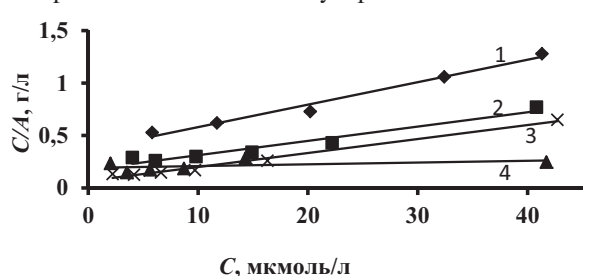


Рис. 1. Изотермы адсорбции доксорубицина на железоуглеродном сорбенте в координатах уравнения Лэнгмюра при: 1) 18; 2) 30; 3) 40; 4) 60 °C

Из полученных изотерм были рассчитаны значения констант равновесия  $K_p$  и максимальных сорбционных емкостей A, табл. 1.

**Таблица 1.** Значения термодинамических параметров ∆G процесса сорбции доксорубицина на железоуглеродном сорбенте

Температура сорбции, °C	<i>К</i> <sub>р</sub> , 10⁴, л/моль	А, мкмоль/г	$\Delta G$ , кДж/моль
18	5,7	48	-26,1
30	9,8	71,4	-28,1
40	11,0	76,9	-30,1
60	20,6	83,3	-33,7

Исходя из значений констант сорбционного равновесия были рассчитаны интегральные изменения энтальпии ( $\Delta H^{\circ}$ ) и энтропии ( $\Delta S^{\circ}$ ) адсорбции по уравнению:

$$\ln K_p = -\frac{\Delta H^{\circ}}{RT} + \frac{\Delta S^{\circ}}{R},$$

где R — универсальная газовая постоянная;  $\Delta H^\circ$  — энтальпия, кДж/моль;  $\Delta S^\circ$  — энтропия, Дж/(моль·К); T — температура, К.

Из таблицы видно, что с увеличением температуры происходит увеличение констант сорбционного равновесия, что свидетельствует об эндотермическом процессе. Рассчитанные значения составили  $\Delta H$ =26,6 кДж/моль,  $\Delta S$ =182,5 Дж/(моль·К). В работах [7-9] на примере различных адсорбентов было показано, что адсорбция катионов тяжелых металлов и модельных органических веществ носит эндотермический характер и протекает с увеличением энтропии. Этот факт является доказательством протекания химического взаимодействия с образованием прочных поверхностных комплексов. Увеличение энтропии и максимальной сорбционной емкости также объясняется протеканием химических реакций, увеличением общего количества центров и их доступностью [9]. В то же время природа активных центров адсорбции, а также возможный механизм их активации неизвестен.

Ранее в работе [1] нами показано, что адсорбция доксорубицина, как первая стадия взаимодействия, протекает с участием гидроксидных групп поверхности, определяется процессами их диссоциации и ионного обмена:

$$-Fe-C-COOH \rightarrow -Fe-C-COO^- + H^+$$

Очевидно, после адсорбции меняется структура плотного слоя Гуи и диффузного слоя Гуи—Чепмена из-за химического взаимодействия ЖУС с ДР и водой, что и приводит к увеличению энтропии. Эндотермичность химических процессов объясняется протеканием двух противоположных по знаку теплового эффекта процессов: эндотермического процесса диссоциации поверхностных групп с образованием дополнительных центров адсорбции и экзотермического процесса адсорбции доксорубицина [1].

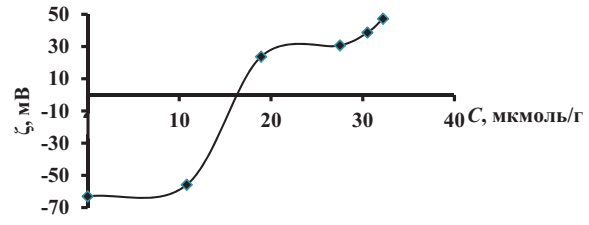
В настоящей работе также были получены зависимости изменения концентрации ДР при адсорбции на ЖУС от времени сорбции. Из полученных зависимостей рассчитаны значения констант скоростей адсорбции  $K_{\text{agc}}$  и десорбции  $K_{\text{gec}}$ , энергии активации процессов, данные приведены в табл. 2.

**Таблица 2**. Значения кинетических параметров процесса сорбции доксорубицина на железоуглеродном сорбенте

Температура сорбции, °C	К <sub>адс</sub> , мин <sup>−1</sup>	К <sub>дес</sub> , мин⁻¹
18	0,0013	0,00072
40	0,0032	0,00080
60	0,0052	0,00085

Значение энергии активации процесса составило 29 кДж/моль, поэтому можно предположить, что процесс адсорбции лимитируется стадией химического взаимодействия доксорубицина с поверхностью ЖУС. Значение константы адсорбции много больше константы десорбции, и взаимодействие ДР с поверхностью ЖУС можно рассматривать как практически необратимый процесс.

Ранее в работе [1] было высказано предположение об электростатическом механизме взаимодействия препарата с поверхностью ЖУС. Для проверки данного предположения были проведены эксперименты по изучению изменения  $\xi$ -потенциала суспензии ЖУС от концентрации адсорбированного ДР (рис. 2).



**Рис. 2.** Зависимость ξ-потенциала образца железоуглеродного сорбента от количества адсорбированного доксорубицина

Характер изменения  $\xi$ -потенциала описывается кривой, проходящей через нулевое значение. Как видно из рис. 2, при адсорбции доксорубицина на ЖУС происходит не только изменение величины заряда, но и изменение заряда поверхности. Это свидетельствует о специфическом характере адсорбции.

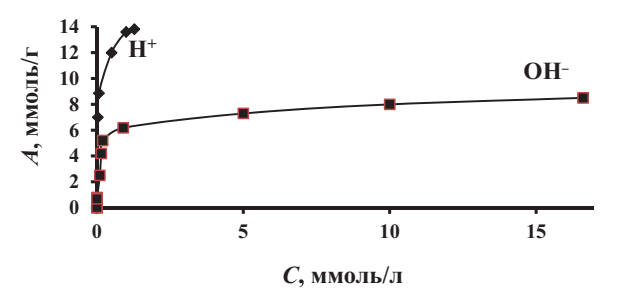
Исходя из значения полученного  $\xi$ -потенциала, структуру мицеллы наночастицы в воде можно представить в виде:

$$\{[m(Fe,FeC,Fe_3C)]\cdot nOH^{-\cdot}(n-x)H^{+}\}^{x-\cdot}xH^{+}$$

При увеличении количества адсорбированного доксорубицина наблюдается постепенное изменение значения  $\xi$ -потенциала. При концентрации ДР более 16 мкмоль/г происходит смена знака заряда поверхности (рис. 2). С учетом полученных данных структуру мицеллы после адсорбции ДР можно представить следующим образом:

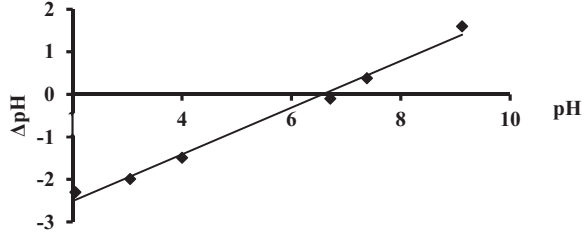
$$\{[m(Fe,FeC,Fe_3C)]\cdot nOH^-\cdot (n-x)JP\}^{x+}\cdot xOH^-$$

Для определения количества активных адсорбционных центров был использован метод потенциометрического титрования [10]. Полученные данные приведены на рис. 3.



**Рис. 3.** Изотерма адсорбции ионов  $H^+$  и  $OH^-$  на железоуглеродном сорбенте

Согласно представленным на рис. З изотермам сорбции  $H^+$  и  $OH^-$  сорбционная емкость ЖУС по ионам водорода больше, что и определяет отрицательный заряд поверхности. По полученным данным построена зависимость  $\Delta pH - pH$  (рис. 4), из которой было определено значение pH изоионного состояния.



**Рис. 4.** Зависимость изменения pH от исходного pH суспен-

Как видно из рис. 4, значение рН изоионного состояния составляет 6,8. Данная величина совпадает с ранее полученным значением рН изоэлектронного состояния, которое составляет 6,6. Это свидетельствует о том, что адсорбционные и электрокинетические свойства ЖУС определяются

только процессами диссоциации поверхностных гидроксидных групп [1].

Тангенс угла наклона прямой в координатах  $\Delta pH - pH$  характеризует долю доступной поверхности сорбента для  $H^+$  и  $OH^-$ , которая составила 0,61. Это свидетельствует о том, что в процессе адсорбции участвуют около 60 % возможных центров адсорбции при 18 °C.

Из полученных изотерм рассчитана концентрация адсорбированных частиц ДР  $0.9 \cdot 10^{18}$  молекул/ $m^2$ , для  $OH^-$  эта величина  $0.9 \cdot 10^{20}$  молекул/ $m^2$ , а для  $H^+ - 1.5 \cdot 10^{20}$  молекул/ $m^2$ . Количество адсорбированных  $H^+$  и  $OH^-$  на два порядка выше числа адсорбированных частиц ДР. Полученные значения можно объяснить тем, что ионы  $H^+$  и  $OH^-$  свободно проникают во все поры сорбента, тогда как крупные молекулы ДР адсорбируются на внешней поверхности ЖУС.

#### СПИСОК ЛИТЕРАТУРЫ

- Галанов А.И., Юрмазова Т.А., Митькина В.А., Савельев Г.Г., Яворовский Н.А. Исследование механизма адсорбции противоопухолевых лекарств на железокарбидных частицах // Известия Томского политехнического университета. — 2010. — Т. 317. — № 3. — С. 29—33.
- Даниленко Н.Б., Савельев Г.Г., Яворовский Н.А., Юрмазова Т.А., Галанов А.И., Балухтин П.В. Изучение состава и кинетики образования продуктов эрозии металлической загрузки электроразрядного реактора // Журнал прикладной химии. 2005. Т. 78. № 9. С. 1463–1468.
- 3. Земскова Л.А., Войт А.В., Шевелева И.В., Миронова Л.Н. Сорбционные свойства хитозан-углеродных волокнистых материалов // Журнал физической химии. 2007. Т. 81. № 10. С.1856—1859.
- 4. Печенюк С.И., Семушина Ю.П. Сорбция фосфат-ионов на оксигидроксидах Fe(III), Zr(IV) и Cr(III) из водных растворов электролитов // Журнал физической химии. -2007. T.81. -№ 8. C. 1473–1478.
- Галанов А.И., Юрмазова Т.А., Митькина В.А., Савельев Г.Г., Яворовский Н.А., Лобанова Г.Л. Магнитные наночастицы, получаемые электроимпульсным методом, их физико-химиче-

#### Выводы

- 1. Исследован процесс взаимодействия доксорубицина и железоуглеродного сорбента при различных температурах, определены термодинамические параметры.
- 2. Из кинетических зависимостей рассчитаны константы адсорбции и десорбции, показано, что процесс адсорбции практически необратим.
- 3. Экспериментально определена концентрация адсорбционных центров на железоуглеродном сорбенте методом потенциометрического титрования для ионов H<sup>+</sup> и OH<sup>-</sup>.
- Впервые изучено изменение ξ-потенциала на железоуглеродном сорбенте при адсорбции на нем доксорубицина. Показано, что при адсорбции происходит компенсация потенциала и перезарядка поверхности.
  - ские свойства и взаимодействие с доксорубицином и плазмой крови // Перспективные материалы. 2010. № 4. С. 49—55.
- Фролов Ю.Г. Курс коллоидной химии (Поверхностные явления и дисперсные системы). М.: Химия, 1982. 400 с.
- Беликов В.Г., Курегян А.Г. Получение продуктов взаимодействия магнетита с лекарственными веществами // Химикофармацевтический журнал. 2004. Т. 38. № 3. С. 35–38.
- Cruz-Olivares J., Perez-Alonso C., Barrera-Dhaz C., Natividad R., Chaparro-Mercado M.C. Thermodynamical and analytical evidence of lead ions chemisorption onto Pimenta dioica // Chemical Engineering Journal. – 2011. – V. 168. – № 2. – P. 814–821.
- Abd El-Latif M.M., Ibrahim Amal M., El-Kady M.F. Adsorption Equilibrium, kinetics and thermodynamics of methylene blue from aqueous solutions using biopolymer oak sawdust composite // Journal of American Science. – 2010. – V. 6. – № 6. – P. 267–283.
- Савельев Г.Г., Юрмазова Т.А., Галанов А.И., Сизов С.В., Даниленко Н.Б., Лернер М.И., Теппер Ф., Каледин Л. Адсорбционная способность наноразмерного волокнистого оксида алюминия // Известия Томского политехнического университета. 2004. Т. 307. № 1. С. 102—107.

Поступила 04.07.2011 г.